



Imagen: Silvana Ricci.

Boletín mensual del Observatorio Magnético de Pilar JULIO 2019

EL OBSERVATORIO

En el Observatorio Geofísico y Meteorológico de Pilar confluyen diferentes disciplinas, Meteorología, Radiación, Ozono, Sismología y Geomagnetismo. Esta última dentro del Observatorio Magnético Pilar. El Observatorio Magnético Pilar comenzó a operar en 1904 y sus registros datan desde entonces. Cuenta con instrumental el cual posee una configuración clásica acorde a la mayoría de los observatorios magnéticos. En noviembre de 2010, el Observatorio se actualizó con la instalación del Sistema INDIGO (Digital Geomagnetic Observatory) para dar inicio a registros digitales. Luego de pruebas y de ajustes del sistema, en septiembre de 2012, el Observatorio fue aceptado como miembro de INTERMAGNET (Red Magnética Internacional en Tiempo Real).

Autores: María Inés Gil, Silvana Ricci, Jesús González, Sabrina Suarez, Carlos Romero.

Coord. Area Geofísica: Geof. Camila Farías. cfarias@smn.gov.ar

Información sobre Copyright

Este reporte ha sido producido por empleados del Servicio Meteorológico Nacional con el fin de documentar sus actividades de investigación y desarrollo. El presente trabajo ha tenido cierto nivel de revisión por otros miembros de la institución, pero ninguno de los resultados o juicios expresados aquí presuponen un aval implícito o explícito del Servicio Meteorológico Nacional.

La información aquí presentada puede ser reproducida a condición que la fuente sea adecuadamente citada.

UBICACIÓN

El Observatorio Magnético se localiza en la ciudad de Pilar, en la Provincia de Córdoba, zona centro de la Argentina. Sus coordenadas corresponden:

- Coordenadas Geográficas: 31°40'00'' S 63°53'00'' W
- Coordenadas Magnéticas: 20°02'00'' S 04°00'00'' W
- Altura sobre el nivel del mar: 338 nmm.

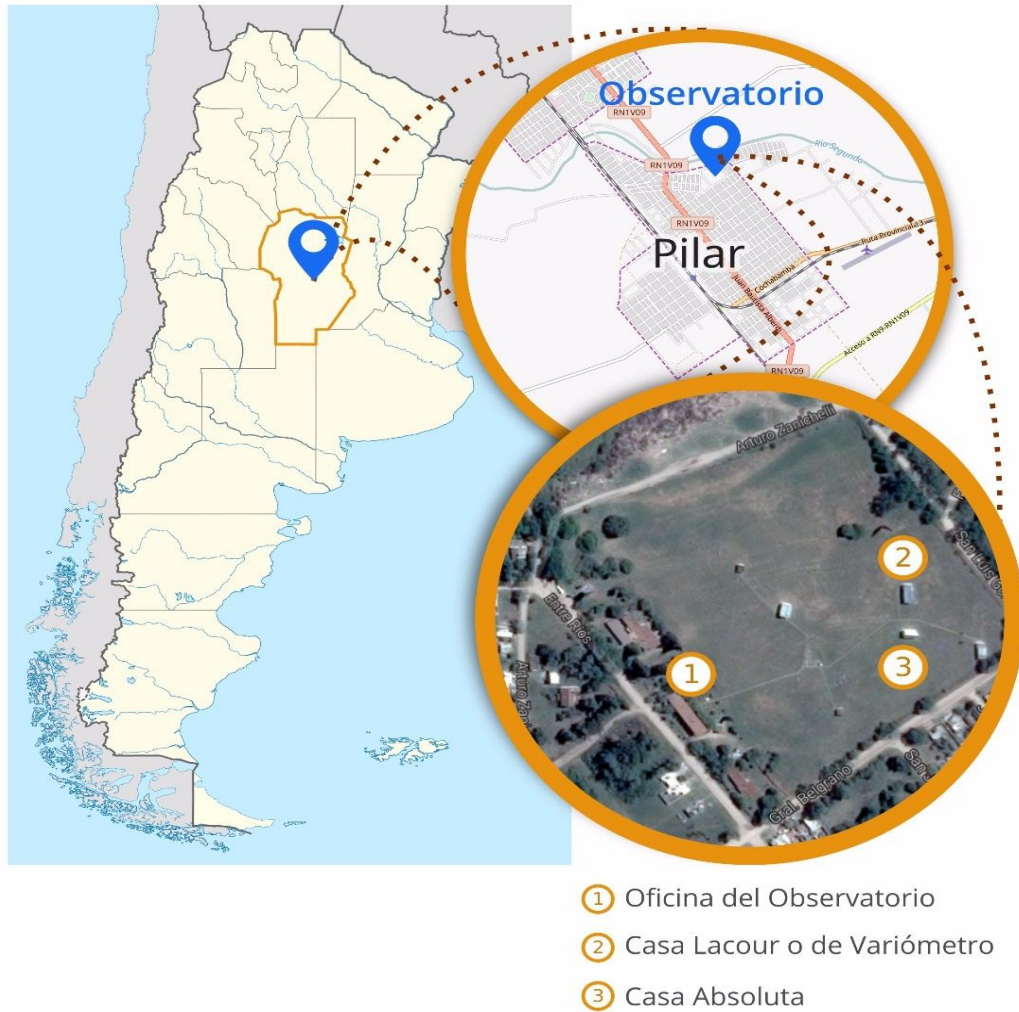


Figura 1: Ubicación del observatorio Pilar

CONCEPTOS TEÓRICOS

El **campo magnético** terrestre se parece al campo de una larga barra magnética o al de una esfera uniformemente magnetizada.

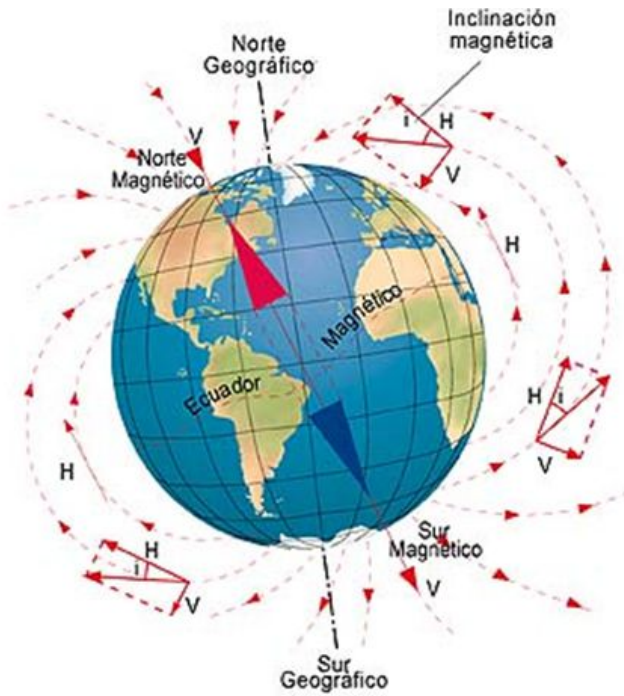


Figura 2: Representación gráfica del campo magnético terrestre

El campo o las líneas de flujo, siguen la trayectoria que muestra la Figura 2. Nótese que la dirección del campo es vertical en los polos magnéticos, y horizontal en el ecuador magnético. El entendimiento de esta geometría es importante para la interpretación de las anomalías magnéticas. La intensidad del campo, es una función de la cantidad de líneas por unidad de área.

La intensidad en la región polar es aproximadamente el **doblo** que en la ecuatorial, oscilando entre los 60.000 y 30.000 gammas o nanoteslas (nT).

Es importante tener en cuenta que el campo Magnético varía tanto en espacio como en tiempo.

Instrumentos en éste Observatorio.

El Observatorio cuenta con un magnetómetro protónico que registra la intensidad del campo, F , un magnetómetro triaxial fluxgate para registrar la componente horizontal H , vertical Z , y la declinación D , y un teodolito que permite determinar D e I por medio de una observación. En la Figura 3 se presenta un esquema de las componentes del campo magnético enunciadas en este apartado.

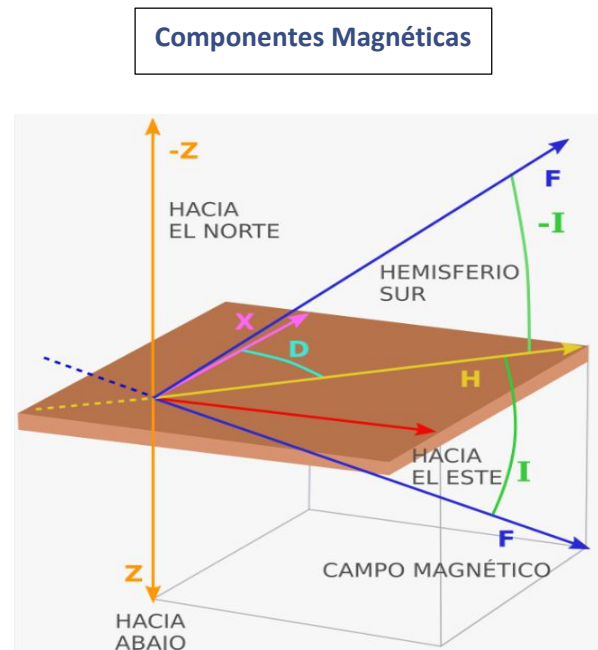


Figura 3: Componentes del campo magnético

DESCRIPCIÓN SISTEMA INDIGO

Este sistema proporciona el hardware y el software para operar un Observatorio Magnético Digital básico.

El hardware consiste en un magnetómetro triaxial fluxgate, un magnetómetro protónico, un Digitizador, un receptor GPS para proporcionar un tiempo exacto, un registrador de memoria USB y una fuente de alimentación DC alimentada por batería. El software, INDIGO WATCH captura los datos del magnetómetro digitalizado, registra en el disco y realiza el análisis de datos básicos.

OBSERVATORIO MAGNÉTICO OPERATIVO

El Observatorio opera con Geomagnetic Data Acquisition System (GDAS), el mismo fue desarrollado por la British Geological Survey (BGS). El INDIGO Watch registra las variaciones de las componentes del campo magnético, pero no los valores absolutos. El operador supervisa estas variaciones.

Las observaciones absolutas conjuntamente con los datos obtenidos por el Sistema Indigo, se procesan en el software (GDAS), y producen un registro continuo de los **valores absolutos del campo magnético**.

INTERMAGNET

INTERMAGNET es una red mundial de Observatorios Magnéticos que operan casi en tiempo real. El objetivo de INTERMAGNET es establecer una red global de Observatorios Magnéticos digitales que cooperen, adoptando modernas especificaciones estándar para equipos de medición y registro, con el fin de facilitar el intercambio de datos y la elaboración de productos geomagnéticos en tiempo real.

En septiembre de 2012, el Observatorio Magnético Pilar fue aceptado como miembro de INTERMAGNET y las mediciones magnéticas generadas con el Sistema INDIGO en el Observatorio de Pilar, son reportadas diariamente a Edinburgo GIN.

La información se puede visualizar en <http://www.intermagnet.org/data-donnee/dataplot-eng.php>

RED INTERMAGNET

A continuación se presenta la evolución de las componentes del campo magnético para todo el mes de julio presentadas a la red INTERMAGNET.

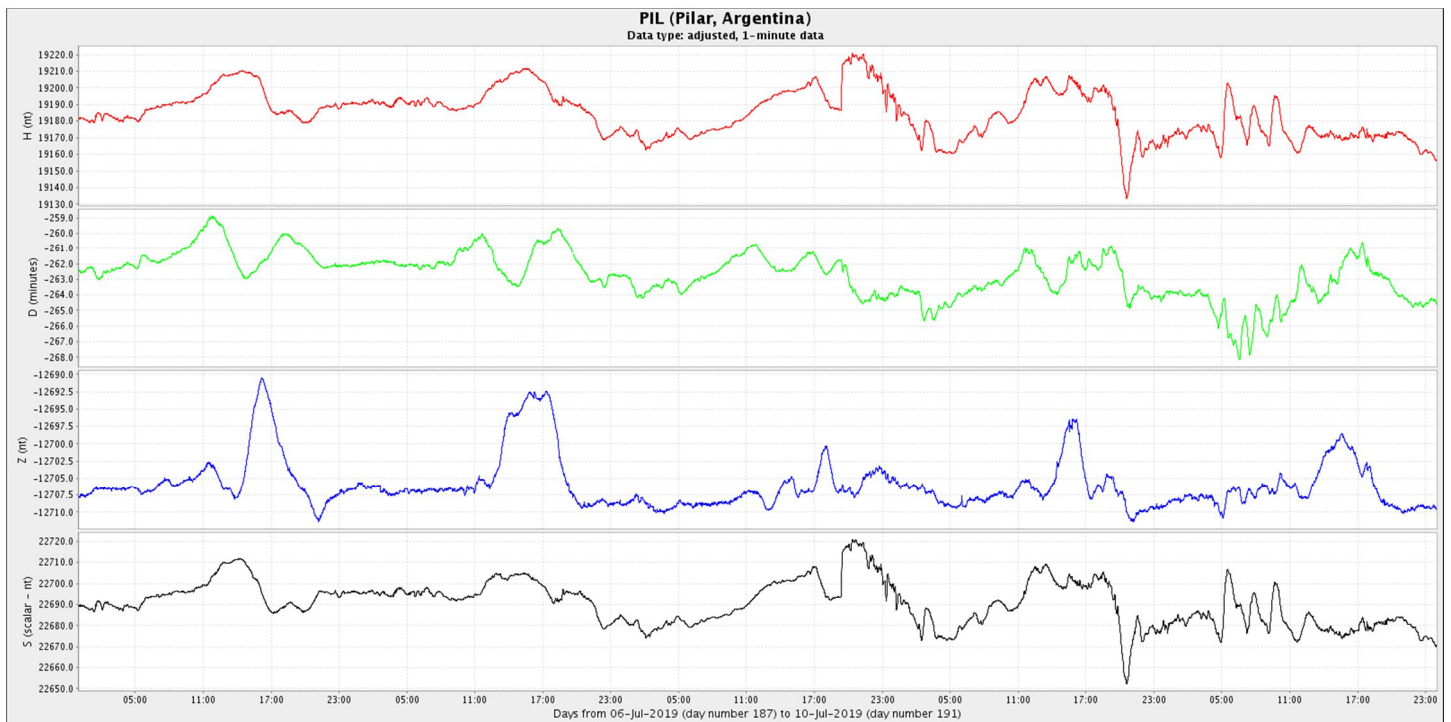
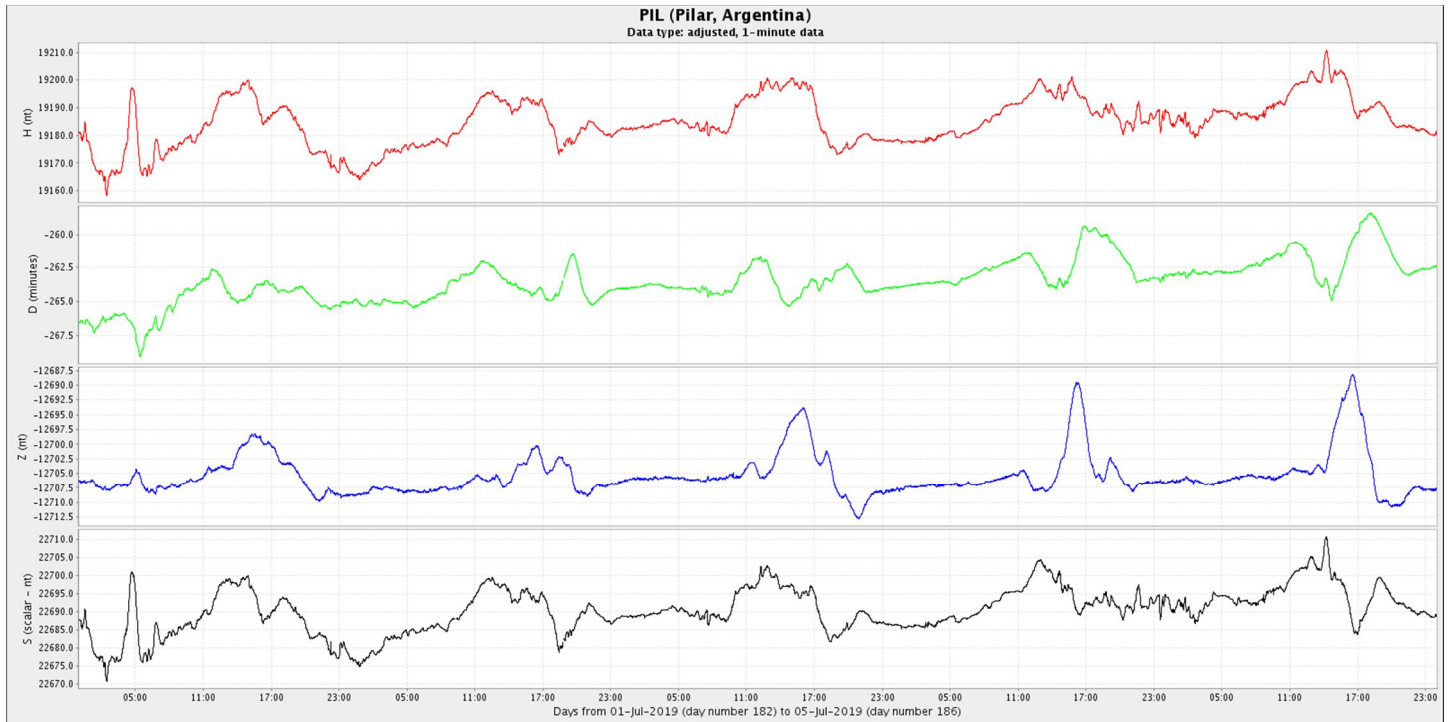


Figura 4a: Componentes del campo magnético del 1 al 10 de junio. En rojo se ve la componente horizontal (H) y en azul la vertical (Z), ambas en nT. En verde se presenta la declinación del campo magnético (D) en minutos y en negro la intensidad del campo magnético en nT

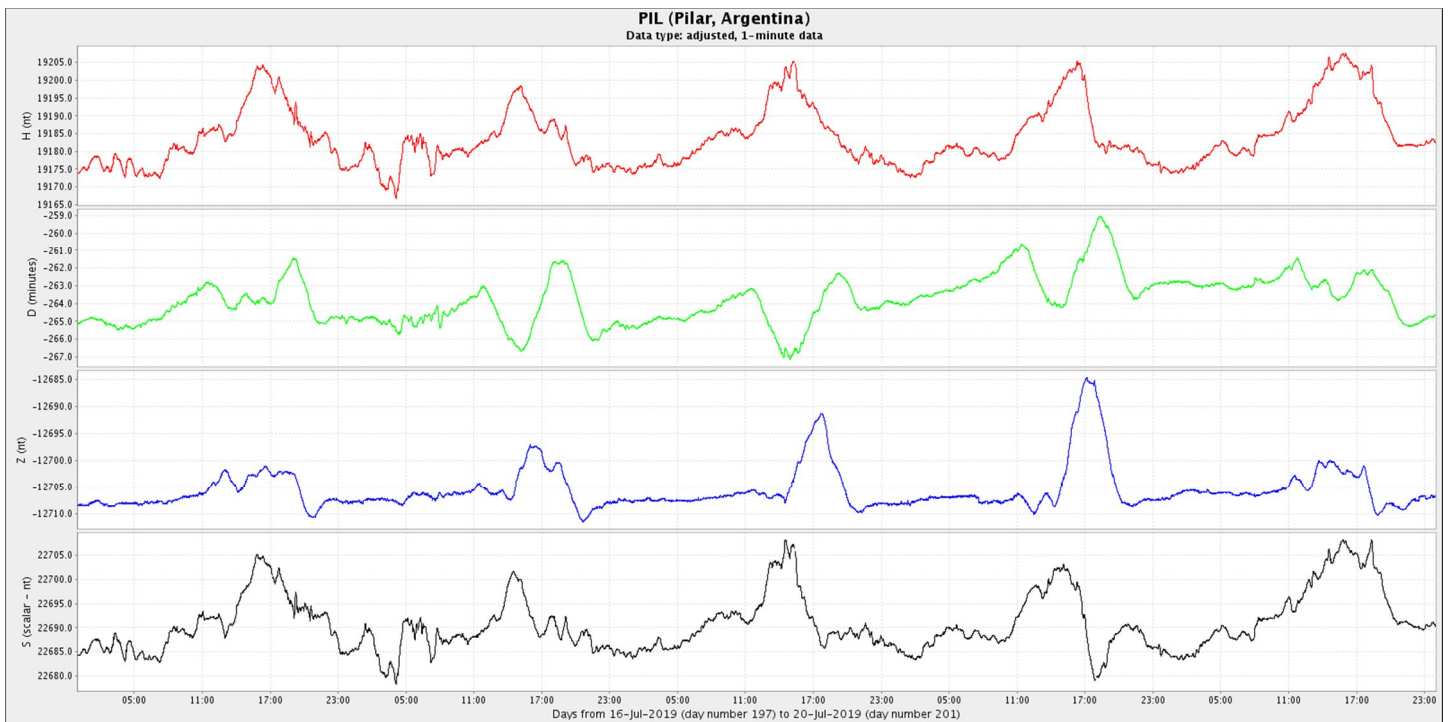
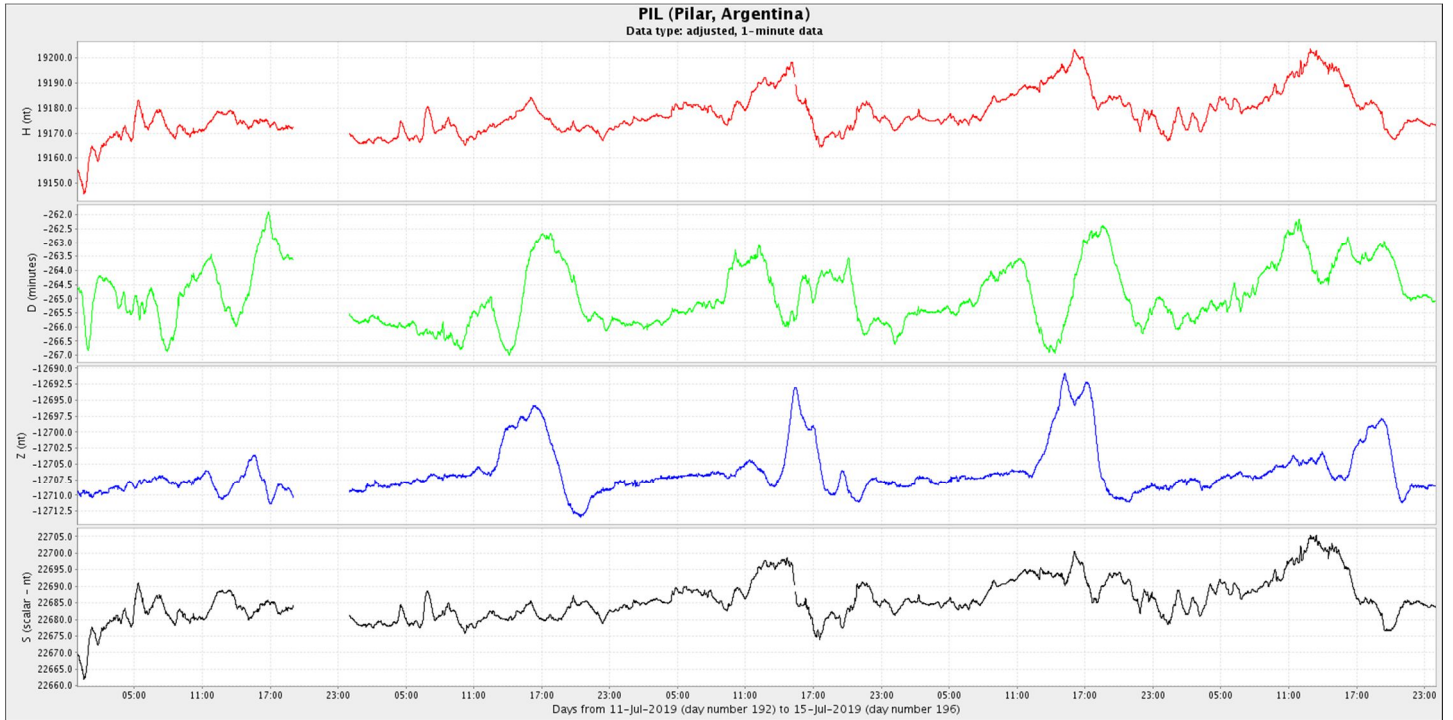


Figura 4b: Componentes del campo magnético del 11 al 20 de julio. En rojo se ve la componente horizontal (H) y en azul la vertical (Z), ambas en nT. En verde se presenta la declinación del campo magnético (D) en minutos y en negro la intensidad del campo magnético en nT.

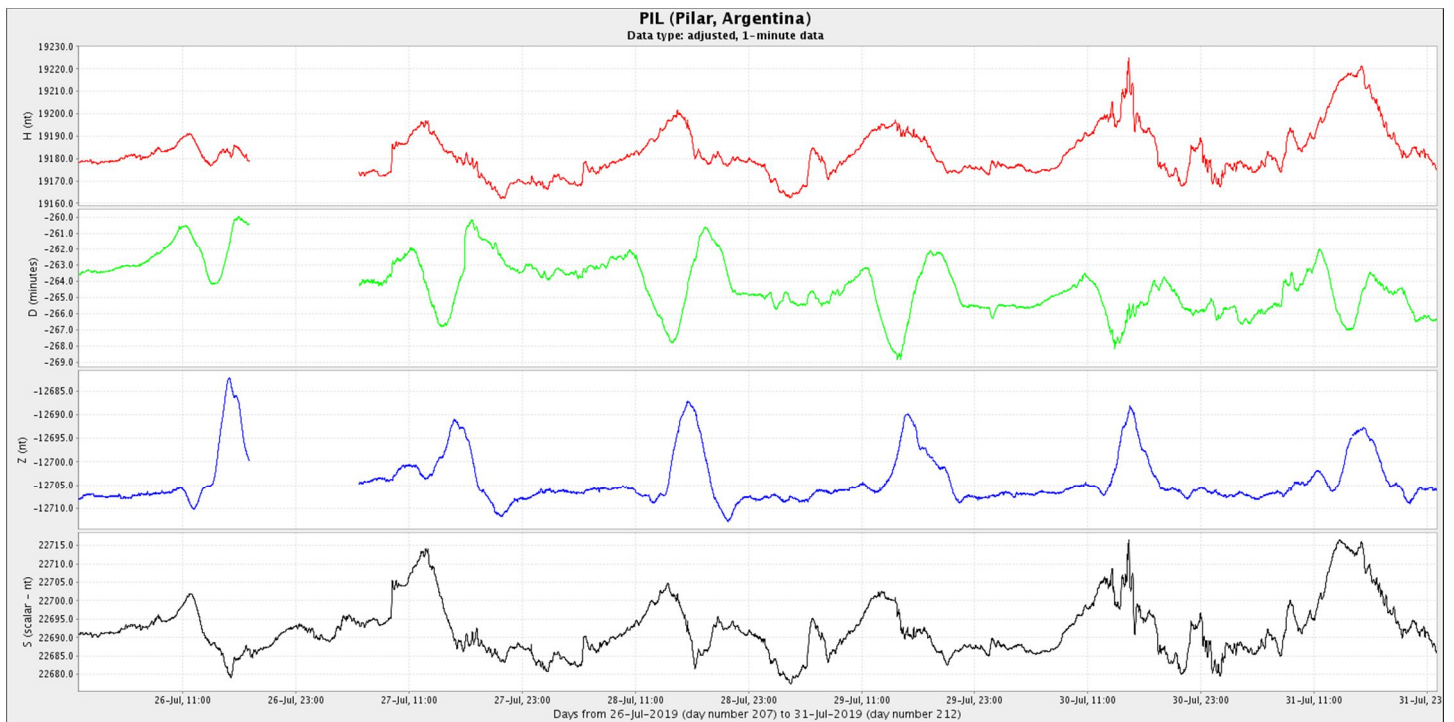
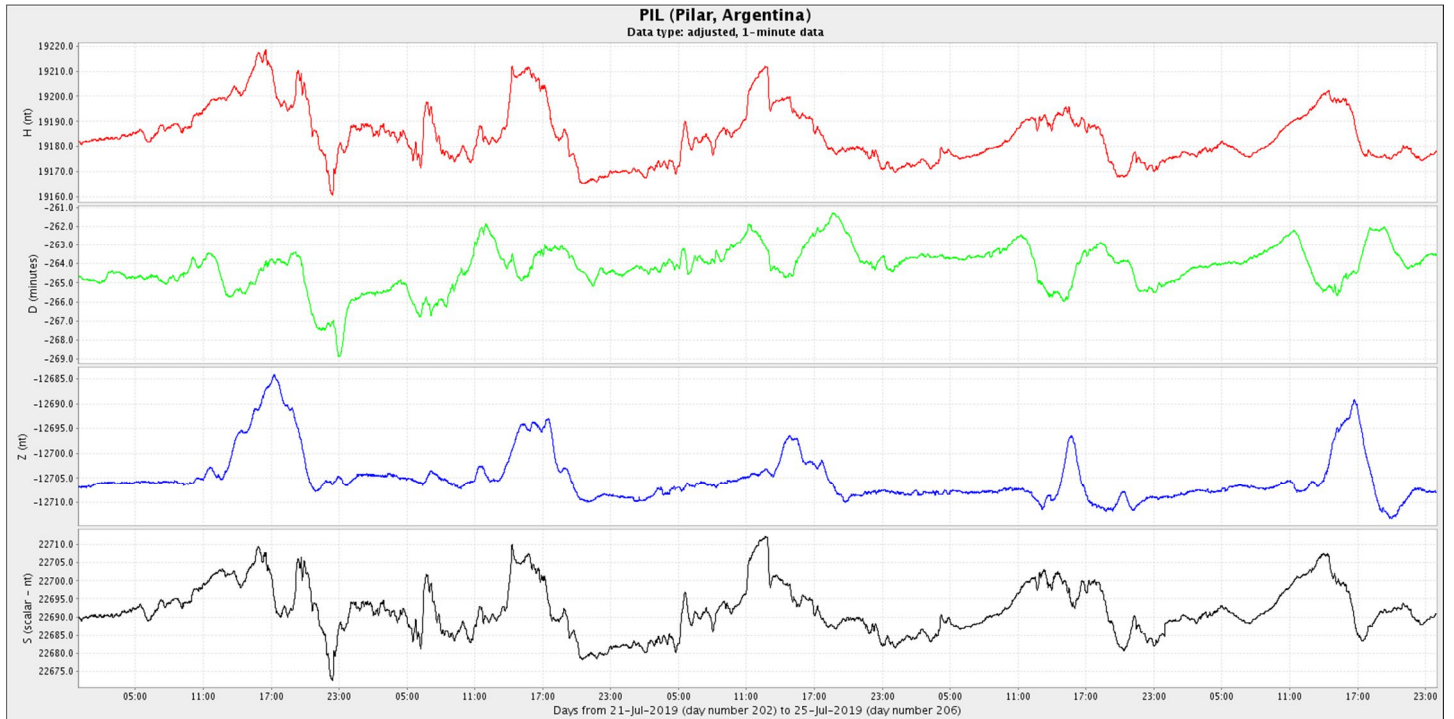


Figura 4c: Componentes del campo magnético del 21 al 31 de julio. En rojo se ve la componente horizontal (H) y en azul la vertical (Z), ambas en nT. En verde se presenta la declinación del campo magnético (D) en minutos y en negro la intensidad del campo magnético en nT.

OBSERVACIONES ABSOLUTAS

A continuación (Figuras 5, 6 y 7) se presenta la evolución temporal durante todo el mes de julio de la declinación, la inclinación y la intensidad total del campo magnético a partir de las observaciones absolutas realizadas a las 12 y 15 UTC.

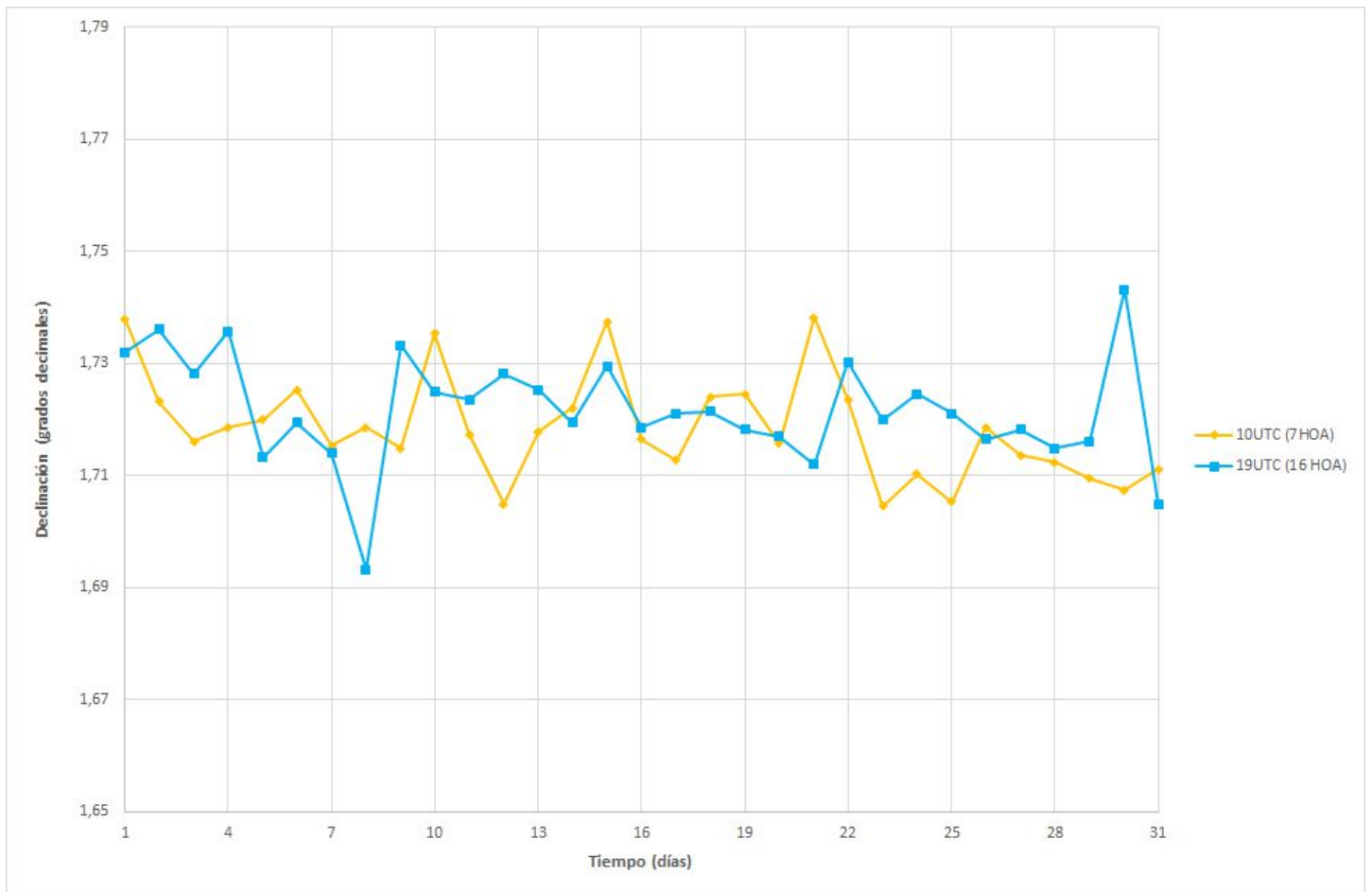


Figura 5: Declinación magnética en función del tiempo

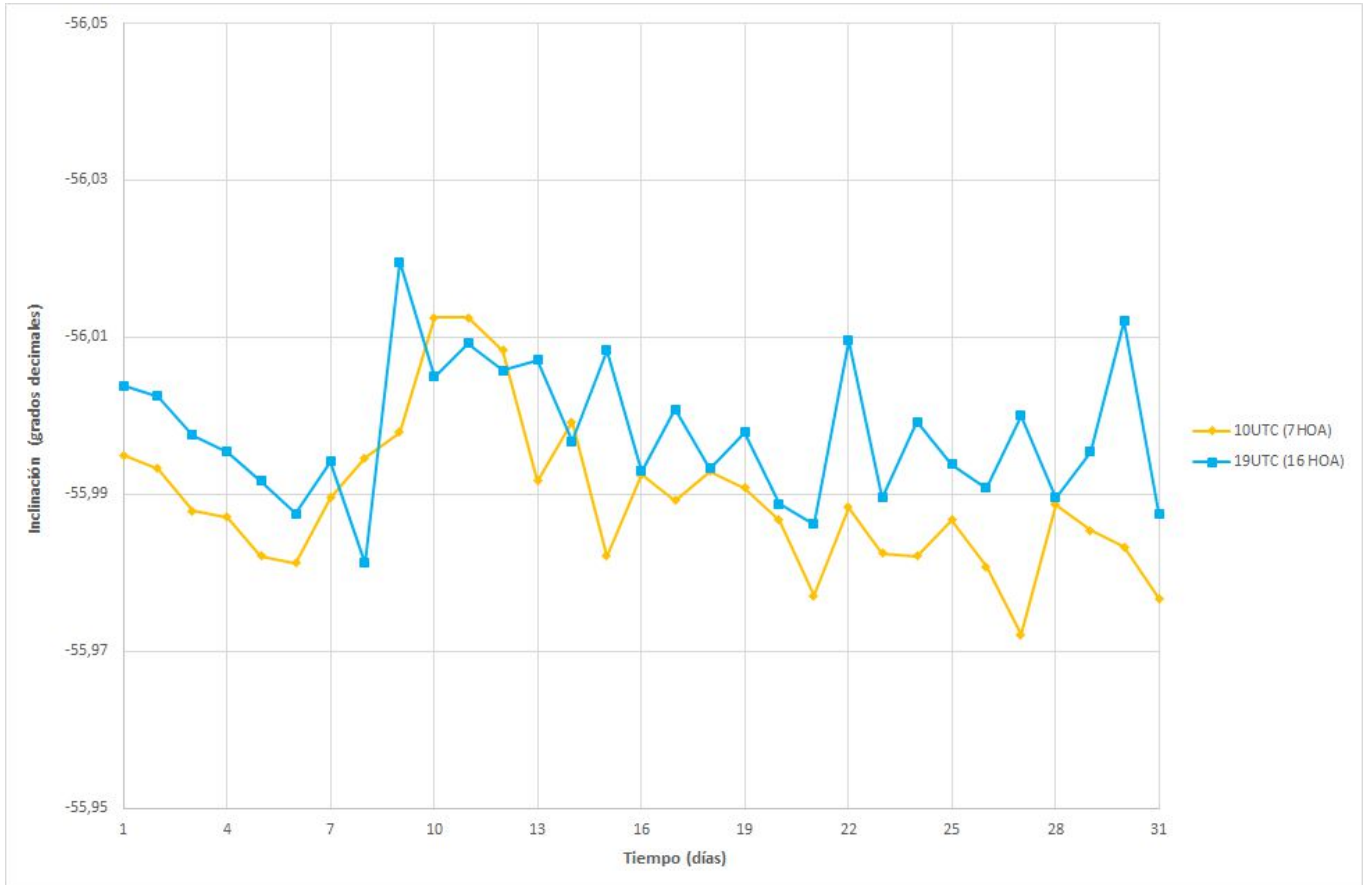


Figura 6: Inclinación magnética en función del tiempo

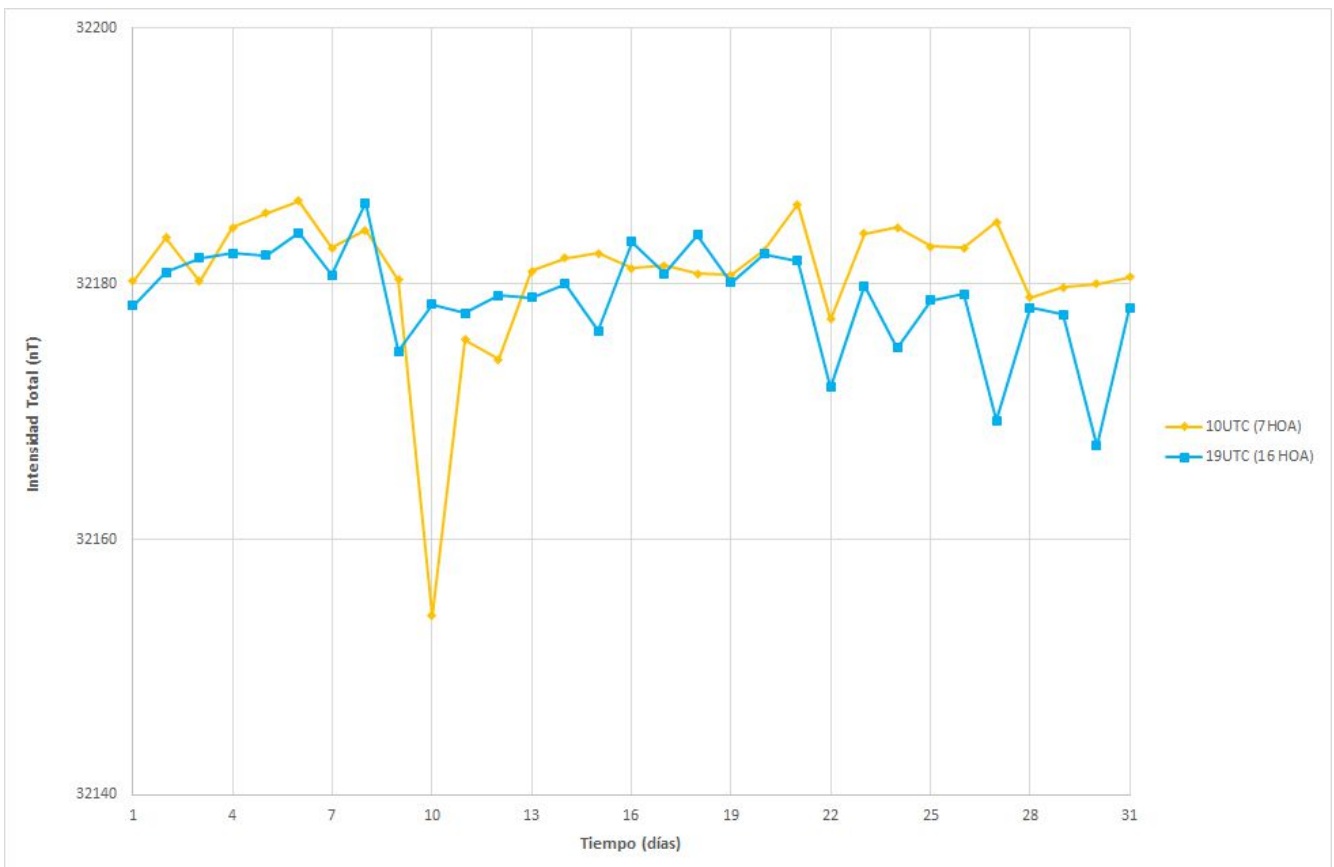
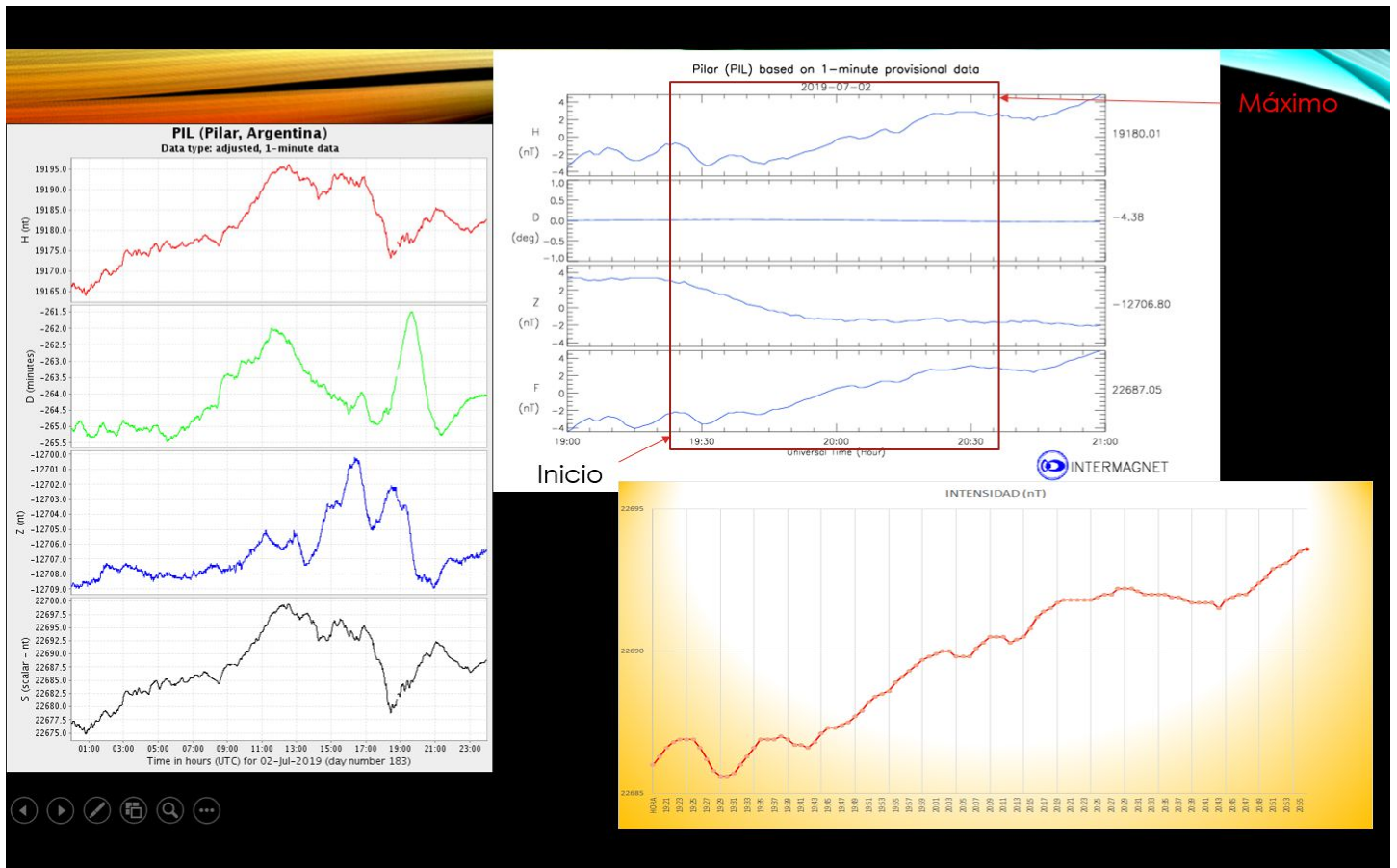


Figura 7: Intensidad total del campo magnético en función del tiempo

COMENTARIOS FINALES

El 2 de julio el Observatorio Pilar fue testigo del mayor evento astronómico del 2019 hasta el momento, se pudo apreciar el Eclipse de Sol con un 92% de oscurecimiento del Sol para esa posición.

En las siguientes imágenes se puede observar las distintas componentes del magnetograma, H y F tiene un incremento a partir del comienzo del eclipse y Z decae.



Julio mostró una región de manchas solares perteneciente al ciclo solar 25, que desapareciendo silenciosamente como llegó. El mes tuvo una leve notoriedad magnética, que lo destaca de los meses anteriores.

Pocos días con perturbaciones en las componentes magnéticas del Observatorio donde se destacan los días 5 y 15, las corrientes con viento suave y velocidades menores a 450 Km/s afectaron las componentes, principalmente, H y leve Z, con una variación de 30nT en la primera.

Pero el brillo del mes fue cuando se alcanzó las condiciones de tormenta geomagnética G1 en los días 9 y 10 de julio, comenzando al final del día 8 con el ingreso de una corriente de viento solar a alta velocidad. En nuestros magnetogramas podemos observar la componente H perturbada y en las horas de mayor alteración de H los Kp que informa la NOAA fueron de 4 y 5.

El día 9 el máximo alcanzado de viento solar fue de 630 Km/s y el 10 de julio 695 Km/s, el campo magnético interplanetario (IMF) para el día 9 fue de -11 nT hacia el Sur. No hay certeza si las condiciones de tormenta magnética fueron provocadas

por una CME que pasó desapercibida pero sí se informó que en estos dos días la Tierra estuvo dentro de un agujero coronal con corriente de viento solar a alta velocidad.

Las componentes Z y D en los magnetogramas de los días 9 y 10, no sufrieron bruscas variaciones.

Las condiciones del viento solar (velocidad, densidad de protones, temperatura) durante el mes de octubre pueden verse en el siguiente link:

<https://www.ngdc.noaa.gov/dscovr/portal/index.html#/vis/summary/1m/1543374000000>

Para mayor información sobre lo abordado, consultar el apartado de conceptos teóricos en:

<http://www.smn.gov.ar/serviciosclimaticos/?mod=vigilancia&id=24>